

# Ingenieria del Software II

Segundo Cuatrimestre de 2020

Departamento de Computación  
Facultad de Ciencias Exactas y Naturales  
Universidad de Buenos Aires

## Taller 1

SOOT

Integrantes	LU	Correo electrónico
Tripodi, Guido	843/10	guido.tripodi@hotmail.com

**Reservado para la cátedra**

Instancia	Docente	Nota
Primera entrega		
Segunda entrega		

# Índice

<b>1. Ejercicio 1</b>	<b>3</b>
1.1. Control-Flow Graphs . . . . .	3
1.2. ¿Que definiciones de las variables a y c alcanzan la linea #5? . . . . .	4
1.3. ¿Que definiciones de las variables a y c alcanzan la linea #9? . . . . .	4
1.4. ¿Que definiciones de las variables a y c alcanzan la linea #10? . . . . .	4
<b>2. Ejercicio 2</b>	<b>6</b>
2.1. Control-Flow Graphs . . . . .	6
2.2. ¿Cual es el conjunto de variables vivas en la linea #5? . . . . .	6
2.3. ¿Cual es el conjunto de variables vivas en la linea #7? . . . . .	7
2.4. ¿Cual es el conjunto de variables vivas en la linea #9? . . . . .	7
<b>3. Ejercicio 3</b>	<b>7</b>
3.1. ¿Que valores abstractos de las variables c1 y c2 pueden alcanzar la linea 3? . . .	8
<b>4. Readme</b>	<b>9</b>

## 1. Ejercicio 1

En base a la definición del análisis **Reaching Definition**, el conjunto  $IN$  y  $OUT$  para cada nodo del Grafo de Control de Flujo se define:

$$IN[n] = \bigcup OUT[n'] \quad (1)$$

Donde  $n'$  son los predecesores de  $n$

$$OUT[n] = (IN[n] - KILL[n]) \cup GEN[n] \quad (2)$$

### 1.1. Control-Flow Graphs

En base al código de este ejercicio se realizó el gráfico de control de flujo en cuestión, el cual se muestra a continuación.

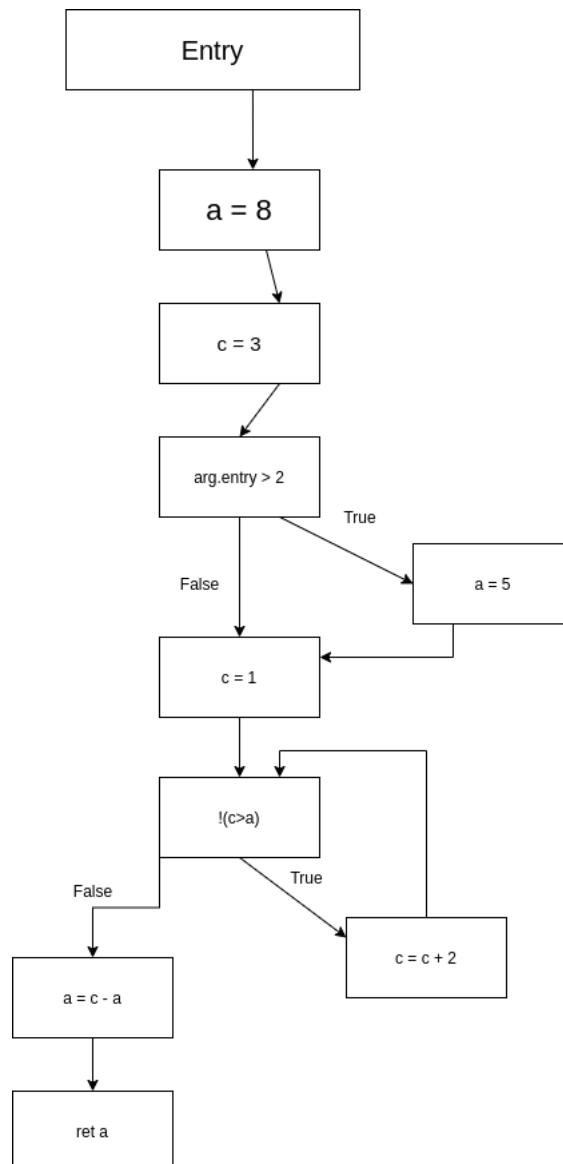


Figura 1: Control-Flow Graphs

## 1.2. ¿Que definiciones de las variables a y c alcanzan la linea #5?

Realizando un análisis de Data-Flow llegamos a los siguientes resultados:

IN	OUT
$\langle a, 1 \rangle, \langle c, 5 \rangle, \langle c, 7 \rangle, \langle a, 3 \rangle$	$\langle c, 7 \rangle, \langle c, 5 \rangle, \langle a, 9 \rangle$

Teniendo en cuenta el código notamos que la variable a toma un valor en la linea 1 y puede tomar otro valor en la linea 3 el cual depende si se cumple la guarda del if de la linea 2. Luego, como este tipo de análisis es *forward*, el out de la linea 5 "pisara.<sup>el</sup> valor de c de la linea 1 por el valor de la linea 5.

Luego, si tenemos en cuenta los resultados obtenidos por la herramienta *SOOT* podemos notar que en dicha linea 5 obtiene resultados distintos ya que toma un código optimizado el cual elimina lineas que no ejecuta.

## 1.3. ¿Que definiciones de las variables a y c alcanzan la linea #9?

Realizando un análisis de Data-Flow llegamos a los siguientes resultados:

IN	OUT
$\langle a, 1 \rangle, \langle a, 3 \rangle, \langle c, 5 \rangle, \langle c, 7 \rangle$	$\langle a, 9 \rangle, \langle c, 5 \rangle, \langle c, 7 \rangle$

Teniendo en cuenta el código notamos que la variable a toma un valor en la linea 1 y puede tomar otro valor en la linea 3 el cual depende si se cumple la guarda del if de la linea 2. Con el mismo razonamiento, la variable c toma un valor en la linea 1, el cual es "pisado.<sup>en</sup> la linea 5, y puede tomar un nuevo valor en la linea 7 si es que cumple la condición del while. Si tenemos en cuenta el out de la linea consultada, notamos que se modifica el valor de a, por lo cual pisa los anteriores.

Luego, al igual que en el item anterior, realizando una comparación con los resultados obtenidos por la herramienta *SOOT* podemos notar que en dicha linea 9 obtiene resultados distintos teniendo en cuenta que utiliza un código optimizado pero de igual forma realiza un análisis reaching def, en el cual analiza los posibles resultados de la variable c y a y devuelve que los valores posibles de estas variables son 1 y c + 2 para c y 8 y 5 para a, estos valores son obtenidos a través de las lineas 1 3 5, y 7, notando también que se elimina el valor de c igual a 3 que se obtiene en la linea 1.

## 1.4. ¿Que definiciones de las variables a y c alcanzan la linea #10?

Realizando un análisis de Data-Flow llegamos a los siguientes resultados:

IN	OUT
$\langle a, 9 \rangle, \langle c, 5 \rangle, \langle c, 7 \rangle$	$\langle a, 9 \rangle$

Continuando con el análisis del código notamos que la variable a toma un nuevo valor en la linea 9 pisando los anteriores mientras que la variable c se queda con los valores de la linea 5 y

potencialmente de la línea 7 (dependiendo de si puede o no ingresar al ciclo). Luego, como el código retorna una variable, el out de esta línea no será vacío sino que tendrá el valor final de la línea 9 para la variable a.

Ahora, si tenemos en cuenta los resultados obtenidos por la herramienta SOOT y la optimización que realiza en las líneas de código (la línea 10 de código no es la misma que la línea 10 de código optimizada), la línea equivalente en cuestión para el output de SOOT tendrá como in a las variables a y c con los valores obtenidos en las líneas 1 3 5, y 7 y como out devuelve la variable a con el valor final obtenido en la línea 9 pisando los anteriores.

## 2. Ejercicio 2

Para este ejercicio trabajamos utilizando el análisis de tipo **Live Variables**. En dicho análisis el conjunto  $IN$  y  $OUT$  para cada nodo del Grafo de Control de Flujo se define de la siguiente manera:

$$OUT[n] = \bigcup IN[n'] \quad (3)$$

Donde  $n'$  son los sucesores de  $n$

$$IN[n] = (OUT[n] - KILL[n]) \cup GEN[n] \quad (4)$$

### 2.1. Control-Flow Graphs

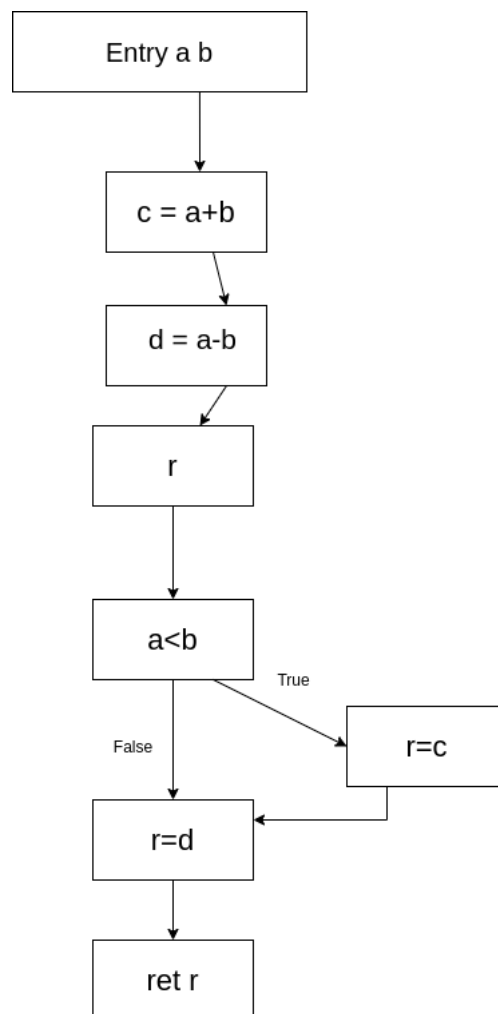


Figura 2: Control-Flow Graphs

### 2.2. ¿Cual es el conjunto de variables vivas en la linea #5?

En base a la definición de este análisis el conjunto de variables vivas para  $IN$  y  $OUT$  es el siguiente:

IN	OUT
c	r

Para el análisis de Live Variables a diferencia de Reaching este tipo de análisis es BACKWARD. Por lo tanto tendremos dentro de nuestro conjunto de variables vivas como entrada en la línea 5 a la variable *c* y como salida la variable *r*, ya que en esta línea se utiliza la variable *c* y *r* donde *r* pasa a tener el valor de *c*.

Realizando un análisis mas exhaustivo para entender por que tenemos la variable *c* como entrada, debemos retraernos a la línea 1, en la cual se obtiene como out la variable *c*. Luego, las variables *a* y *b* no están vivas ya que las mismas no están siendo usadas.

### 2.3. ¿Cual es el conjunto de variables vivas en la línea #7?

El conjunto de variables vivas *IN OUT* para este inciso es el siguiente:

IN	OUT
d	r

Análogamente al inciso anterior en lo que respecta al análisis, podemos notar que la variable dentro del conjunto *IN* es la variable *d*, ya que la misma es usada para realizar la operación  $r = d$ . Luego, al igual que en el inciso anterior la variable viva para el conjunto *OUT* es *r*.

### 2.4. ¿Cual es el conjunto de variables vivas en la línea #9?

Por ultimo, para este inciso obtenemos el siguiente conjunto:

IN	OUT
r	$\emptyset$

Podemos observar que el conjunto *OUT* para este inciso es el  $\emptyset$  dado que es el ultimo nodo que tiene alguna expresión en el cual se usan variables. Y para el conjunto *IN*, tomamos a la variable *r* ya que se esta usando en la expresión, y no se esta redefiniendo.

## 3. Ejercicio 3

A diferencia de los ítems anteriores en este punto se realiza un análisis **Null Pointer Checker** el cual encuentra las instrucciones que tienen el potencial de arrojar un **Null Pointer Exception**. Además, agrega anotaciones indicando, si el puntero siendo dereferenciado puede ser determinado estáticamente a un valor nulo.

### 3.1. ¿Que valores abstractos de las variables `c1` y `c2` pueden alcanzar la línea 3?

En base al análisis, se confirma que no es posible que la expresión `return c1.value` arroje `Null Pointer Exception`. Si tomamos en cuenta los valores abstractos que podrían obtener las variables `c1` y `c2` notamos que los mismos serán *Not Null*.

Realizando un análisis detenidamente línea por línea del output de la herramienta con la que trabajamos, podemos ver que a las variables `c1` y `c2` se les asigna un valor *unknown* en líneas 1 y 2 respectivamente y en la línea 3 `return c1.value` nos devuelve un *Not Null*. Al estar `c2` definida de forma idéntica a `c1` puedo asumir que tendrá el mismo valor que `c1` en caso de ser dereferenciada.



## 4. Readme

Para realizar la ejecución de cada análisis se realizó el siguiente procedimiento:

Trabajando con Linux Ubuntu:

- Se instaló Java versión 8
- Se descargó la herramienta SOOT provista por la cátedra
- Se seteo *jre* de la siguiente forma `export JRE=/usr/lib/jvm/java-8-openjdk-amd64/jre/lib/rt.jar` (Para poder correrlo correctamente se tuvo que modificar `/etc/profile`)
- Se compiló cada ejercicio por separado con el comando `javac -g ex1.java`
- Se ejecutó `java -cp ./soot-3.3.0-jar-with-dependencies.jar:. soot.Main -cp .:JRE -f J ex1 -print-tags -p jap.rdtagger enabled:true -p jb use-original-names:true -p jb.cp off -keep-line-number` para el análisis reaching definition.
- Análogamente para el ejercicio 2, se ejecutó luego de ser compilado el siguiente comando `java -cp ./soot-3.3.0-jar-with-dependencies.jar:. soot.Main -cp .:JRE -f J ex2 -print-tags -p jap.lvtagger enabled:true -p jb use-original-names:true -p jb.cp off -keep-line-number`
- Por último, para el ejercicio 3, se ejecutó luego de ser compilado el siguiente comando `java -cp ./soot-3.3.0-jar-with-dependencies.jar:. soot.Main -cp .:JRE -f J ex3 -print-tags -p jap.npc enabled:true -p jb use-original-names:true -p jb.cp off -keep-line-number`